

### III-29 任意方向単純せん断における体積ひずみ特性

名古屋工業大学 学生員 福武 肇  
 ノ 正員 松岡 元  
 ノ ノ 竹田 一夫  
 ノ ノ 陳 越

地震波のような任意方向の繰返せん断挙動を再現するため、水平面内の直交2方向に独立にせん断できる単純せん断試験機<sup>1)</sup>を用いて種々のせん断ひずみ経路の実験を行ない、特に体積ひずみ(=垂直ひずみ $\epsilon_z$ )とせん断ひずみ経路に沿った累加せん断ひずみ $G$ との関係について考察した。試料は飽和状態の豊浦砂( $\epsilon_0 \approx 0.70$ )で垂直応力 $\sigma_z = 2.0 \text{ kgf/cm}^2$ 一定の下で実験した。

#### 1. ひずみ空間におけるBowl(おわん)モデルと

ダイレイタンシー

砂をある方向( $\gamma_{xy}$ 方向)に載荷除荷(1st loading)した後、1st loadingと直交方向( $\gamma_{xz}$ 方向)に載荷(2nd loading)する<sup>2)</sup>と、粒子は、1st loadingで形成された粒子の斜面を滑り降りながらせん断されるため図-1に示すようなせん断ひずみ経路を描く。

これを3次元的に拡張して考えると、ひずみ空間において図-2に示すBowl(おわん)のような回転体が存在するものと仮想される。そしてこのBowlはせん断による攪乱によってせん断とともに垂直ひずみ $\epsilon_z$ 方向に沈下すると考える。

これは微視的に見れば、せん断時に粒子が平均的に粒子間の谷間に落ちこみながら全体が詰まっていくことに対応するものと思われる(図-2参照)。ここで、せん断ひずみ経路に沿った累加せん断ひずみ<sup>3)</sup>  $G = \sum \Delta G = \sum \sqrt{\Delta \gamma_{xz}^2 + \Delta \gamma_{zy}^2}$ 、またせん断ひずみの原点からの距離を表す合せん断ひずみ $\Gamma = \sqrt{\gamma_{xz}^2 + \gamma_{zy}^2}$ を定義する。

そしてBowl上を登り降りする成分を $\epsilon_p = f_1(\Gamma)$ 、Bowl全体が沈下する成分を $\epsilon_g = f_2$ (攪乱) $\approx f_2(G)$ とすると体積ひずみ(=垂直ひずみ) $\epsilon_z$ は、 $\epsilon_p$ 成分と $\epsilon_g$ 成分との和であると解釈される。図-3に1方向せん断時の上記の重ね合せ( $\epsilon_z = \epsilon_p + \epsilon_g$ )の関係を示す。 $\epsilon_z$ の最大圧縮点は、Bowlを登る成分とBowl自体が沈下する成分とがバランスした状態と考えられる。

#### 2. Bowl自身の沈下成分( $\epsilon_g$ 成分)について

ここでは $\epsilon_g$ 成分の特性を調べるために、 $\epsilon_p$ 成分が一定となるひずみ円経路せん断( $\Gamma$ 一定)について考察する。このせん断では、図-4(a)に示すように、粒子はBowlの一定高さの所を回り、かつBowl自体が沈下するので、ひずみ空間では弓線状に圧縮することになる。図-4(b)は、ひずみ円経路せん断における $\epsilon_z$ を累加せん断ひずみ $G$ に対してプロット

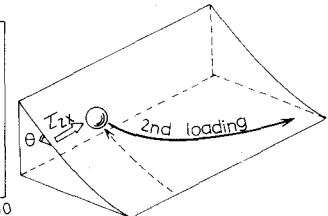
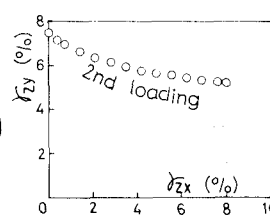


図-1 余面を滑り降りながらのせん断(ひずみ経路)

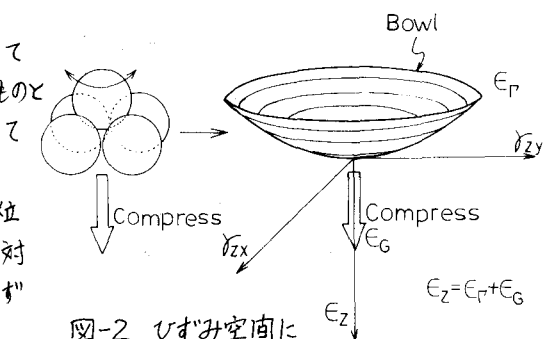


図-2 ひずみ空間におけるBowl(おわん)とその微視的イメージ

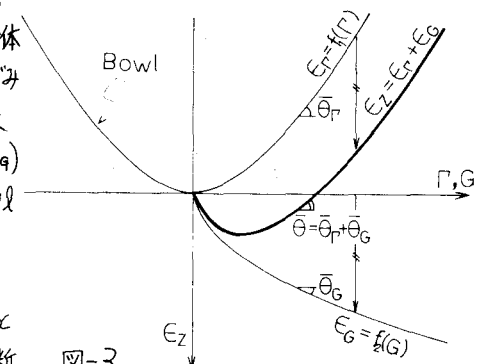


図-3 Bowlを登る成分( $\epsilon_p$ 成分)とBowl自身の沈下成分( $\epsilon_g$ 成分)との重ね合せ

したものである。 $\Gamma$ の大小(円の大小)にかかわらず $G$ に対してそれが $E_z$ がほぼ平行に圧縮するのかが見られる。これより $E_g$ (Bowl自体の沈下)は $G$ に対してユニークに規定できると仮定した( $E_g = f_2(G)$ )。

この仮定を検証するため図-5(b)に示すような

種々のせん断ひずみ経路試験を行なった。図-5(a)のプロットは $\Gamma = 5\%$ における $E_z$ ～ $G$ 関係である。

同図より $E_g = f_2(G)$ なる関係はかなり複雑なひずみ経路でも $\Gamma$ が一定であれば、ユニークに成立するようである。なお $E_g = f_2(G)$ なる関係は $\Gamma = 2.5\%$ においてもユニークに成立するが、 $\Gamma$ が大きくなればBowlの形がくずれると思われるので $E_g = f_2(G)$ なる仮定の成立する $\Gamma$ の範囲が存在するものと思われる。

### 3. ひずみ経路と体積ひずみ $E_z$ の関係

図-5(a)より、同じせん断ひずみ振幅( $\Gamma$ 一定)の場合にはひずみ経路に沿った累加せん断ひずみ $G$ が大きい程よく圧縮することがわかる。図-6は $\Gamma = 5\%$ におけるひずみ円経路と直線経路の体積ひずみ $E_z$ を繰返し回数 $N$ に対してプロットしたものである。ひずみ円経路の $G$ は直線経路の $G$ に比べて $\pi/2 = 1.57$ 倍大きいので、円経路せん断の方がよく圧縮すると考えられるが、図-6からそのことがうかがわれる。(ダ円経路であればそれらの中間の値をとると予想される。)ただし、直線経路せん断ではBowlの底を通るので、 $E_z$ は実際図中の点線のように波打ちながら圧縮することに注意を要する。

謝辞 御指導いただいた本学山内利彦教授、中井照夫助教授に感謝致します。

文献 1)竹田、松岡、福武(1983):第38回土木学会年次講演会Ⅲ-22 pp43-44。2)軽部、木村、鈴木(1975):第10回国土質工学研究発表会45 pp169-172。3)松岡、竹田、福武他(1984):第19回国土質工学研究発表会(投稿中)。4)陳、松岡(1984):第19回国土質工学研究発表会(投稿中)。

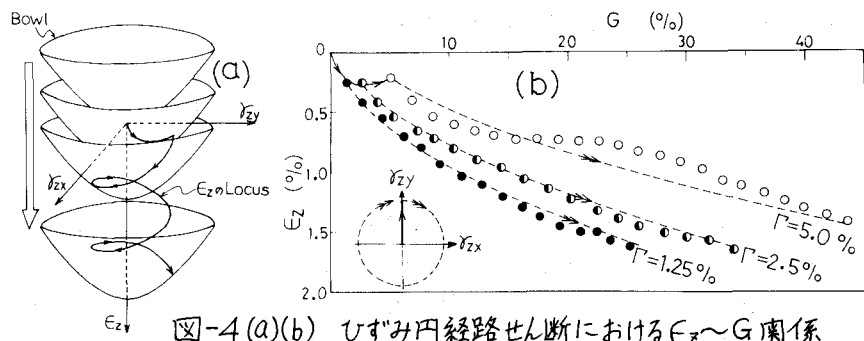
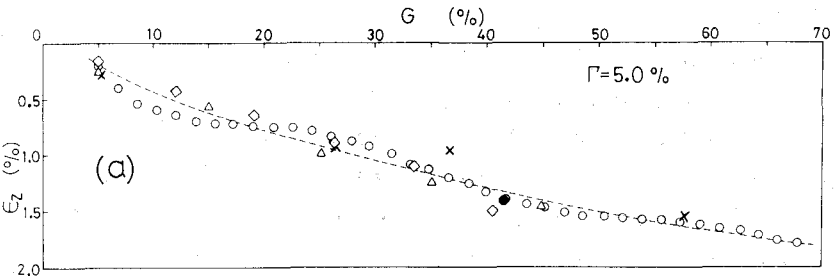


図-4(a)(b) ひずみ円経路せん断における $E_z$ ～ $G$ 関係



- : 円経路 (A-B-C-D-E-F-G-H)  
(A-B-C-D-E-F-G-H)
- ◇: 四角形経路 (A-C-E-G-A-G)
- △: 直線経路 (A-O-E-O-A  
O-E-O-A)
- : 小円と直線経路 (A'-C'E'G'  
A'C'E'G'A'O-E')
- X: 8字経路 (O-B-I-D-O-H-J-F-O)

図-5 種々のせん断ひずみ経路(b)下の $\Gamma = 5\%$ での $E_z$ ～ $G$ 関係(a)

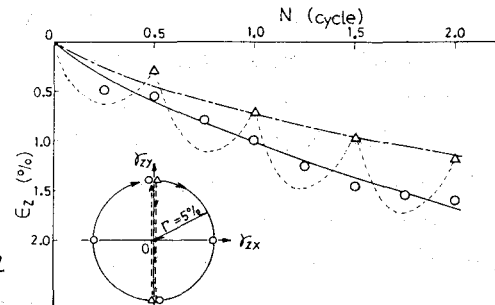


図-6  $\Gamma = 5\%$ での $E_z$ ～繰返し回数の関係  
(ひずみ円経路(○印), 直線経路(△印))